

# Introduction to ML

Marini Mattia

3<sup>o</sup> semestre 3<sup>o</sup> anno

## Indice

<b>1</b>	<b>Gradient descent</b>	<b>2</b>
<b>2</b>	<b>Unsupervised learning - riduzione dimensione</b>	<b>3</b>
2.0.1	Media e varianza . . . . .	3
2.0.2	Autovalori e autovettori . . . . .	4
2.0.3	Obiettivo . . . . .	6
2.0.4	Equivalenza metodi: . . . . .	6
2.0.5	Pseudocodice . . . . .	7
2.0.6	Trovare di quanto ridurre . . . . .	8
<b>3</b>	<b>Clustering</b>	<b>8</b>
3.1	k-means . . . . .	8
3.1.1	Pseudocodice . . . . .	8
3.1.2	Note . . . . .	9
3.2	EM-clustering . . . . .	9
3.3	Spectral clustering . . . . .	10
3.4	Clustering gerarchico . . . . .	11
3.4.1	Pseudocodice . . . . .	11
3.4.2	Vantaggi rispetto a k-means . . . . .	12
<b>4</b>	<b>Reti neurali</b>	<b>12</b>
4.1	Calcolo output predetto . . . . .	13
4.1.1	Classificazione: softmax + cross-entropy . . . . .	13
4.1.2	Regressione: softmax + cross-entropy . . . . .	14
<b>5</b>	<b>Miscellanea nozioni</b>	<b>14</b>
5.1	Cosine distance . . . . .	14

## 1

## Gradient descent

Per valutare la qualità di un modello, si usa una funzione di costo che misura la differenza fra i valori previsti e quelli reali. L'obiettivo è minimizzare questa funzione di costo.

### Definizione 1: Funzione di loss

Una *funzione di loss* è una funzione che misura la differenza tra i valori previsti e quelli reali.

Ad esempio, per un modello di classificazione lineare, la funzione di loss può essere il numero di punti che stanno dalla parte sbagliata del piano

$$\text{loss}(w, b) = \sum_{i=1}^n \mathbf{1}[y_i(w \cdot x_i + b) < 0]$$

l'obiettivo è minimizzare questa funzione ma spesso è molto difficile (NP-hard in fact). Spesso quindi si cerca un'approssimazione, cercando i minimi locali in funzioni che limitano la funzione di loss dall'alto:

### Definizione 2: Funzione di loss surrogata

Una *funzione di loss surrogata* è una funzione che approssima la funzione di loss, limitandola dall'alto.

Di seguito le seguenti funzioni di loss più comuni:

0-1 loss	$\ell_{0/1}(y, y') = \mathbf{1}[y y' \leq 0]$
hinge loss	$\ell_{\text{hinge}}(y, y') = \max(0, 1 - y y')$
exponential loss	$\ell_{\text{exp}}(y, y') = \exp(-y y')$
square loss	$\ell_{\text{sq}}(y, y') = (y - y')^2$

Per trovare il minimo di una funzione di loss surrogata posso usare il *gradient descent*, cercando di "scivolare" verso il minimo andando "in discesa" verso ogni asse singolarmente. Ad esempio utilizzando la loss function esponenziale

$$\text{loss}(w, b) = \sum_{i=1}^n \exp(y_i(w \cdot x_i + b))$$

in particolare se cerco di modificare un peso alla volta considerando la loss function in una sola delle sue  $k$  dimensioni, ho che:

$$\begin{aligned} w_j &= w_j - \eta \frac{d}{dw_j} \text{loss}(w, b) \\ &= w_j - \eta \sum_{i=1}^n -y_i x_{ij} \exp(-y_i(w \cdot x_i + b)) \end{aligned}$$

dunque abbiamo ottenuto la formula per aggiornare ciascun peso:

$$w_j = w_j + \eta \sum_{i=1}^n y_i x_{ij} \exp(-y_i(w \cdot x_i + b))$$

il che equivale a considerare ciascun punto nel training set e aggiornare il peso  $j$ -esimo come segue:

$$w_j = w_j + \eta y_i x_{ij} \exp(-y_i(w \cdot x_i + b)) \quad \forall i \in [0, \dots, n]$$

### Algoritmo 1: Gradient descent

**Input:** Learning rates  $\eta = [\eta_1, \dots, \eta_n]$ , loss function  $L$ , # of iterations  $K$

**Output:** Weights  $w = [w_1, \dots, w_k]$

`gradient_descent( $X, Y, L, \eta$ ):`

```

 $w^{(0)} = [0, \dots, 0] ; \quad \triangleright$  Dati come input in alternativa
for  $k \in [0, \dots, K]$  do
     $g^{(k)} = \nabla_{w^{(k)}} L ; \quad \triangleright$  shift for each direction
     $w^{(k)} = w^{(k-1)} - \eta^{(k)} g^{(k)} ; \quad \triangleright$  move in direction of gradient
return  $w^{(k)}$ 

```

Nota che  $w^{(k)}$  indica i pesi relativi alla  $k$ -esima iterazione, ossia dopo essere stati migliorati  $k$  volte. Similmente  $g^{(k)}$  è il vettore contenente le derivate parziali (ossia considerate una direzione alla volta) della loss function nel punto ottenuto dopo  $k$  iterazioni:

$$\nabla_{w^{(k)}} L = \left[ \frac{\partial L}{\partial w_1^{(k)}} \quad \frac{\partial L}{\partial w_2^{(k)}} \quad \cdots \quad \frac{\partial L}{\partial w_N^{(k)}} \right]$$

dove  $L$  è la *funzione di loss*

## 2

### Unsupervised learning - riduzione dimensione

L'idea generale è quella di "appirattire" i punti nell'asse parallela all'asse con varianza massima, così da ridurre al massimo la perdita di informazione

Formalmente si prende un versore  $w$  che parte da un punto  $c$ . Un versore significa un vettore con norma 1, ossia

$$|w| = 1 \Leftrightarrow w^T w = 1$$

dopodichè si condierano tutte le proiezioni dei punti  $x_i$  su questo versore, ossia

$$t_i = (x_i - c)^T w$$

#### 2.0.1 Media e varianza

La media serve per il calcolo della varianza, la quale è il criterio secondo cui eseguiamo la riduzione di dimensione:

$$\begin{aligned}
 \mathbf{E}[t] &= \frac{1}{n} \sum_{i=1}^n t_i = \frac{1}{n} \sum_{i=1}^n (x_i - c)^\top w \\
 &= \bar{x}^\top w - c^\top w
 \end{aligned}$$

dove

$$\bar{x} = \frac{1}{n} \sum_{i=1}^n x_i$$

La varianza indica quanto i valori sono sparsi lungo l'asse identificato dal versore  $w$ :

$$\begin{aligned}\mathbf{Var}[t] &= \frac{1}{n} \sum_{i=1}^n (t_i - E[t])^2 \\ &= \frac{1}{n} \sum_{i=1}^n [x_i^\top w - c^\top w - \bar{x}^\top w + c^\top w]^2 \\ &= \frac{1}{n} \sum_{i=1}^n [(x_i - \bar{x})^\top w]^2 \\ &= \frac{1}{n} \sum_{i=1}^n (\bar{x}_i^\top w)^2 \\ &= \frac{1}{n} \sum_{i=1}^n w^\top \bar{x}_i \bar{x}_i^\top w \\ &= w^\top \left[ \frac{1}{n} \sum_{i=1}^n \bar{x}_i \bar{x}_i^\top \right] w \\ &= w^\top \left[ \frac{1}{n} \bar{X} \bar{X}^\top \right] w \\ &= w^\top C w\end{aligned}$$

dove

$$t_i = (x_i - c)^\top w \quad \bar{X} = [\bar{x}_1, \dots, \bar{x}_n] \quad \bar{x}_i = (x_i - \bar{x})$$

e in particolare,  $C$  è della *matrice della covarianza*

Dunque abbiamo ottenuto che la varianza è data da:

$$\mathbf{Var}[t] = w^\top C w$$

dove  $C$  è la matrice della covarianza, definita come:

$$C = \begin{bmatrix} x_1 x_1 & \dots & x_1 x_n \\ x_2 x_1 & & x_2 x_n \\ \vdots & \ddots & \vdots \\ x_n x_1 & \dots & x_n x_n \end{bmatrix}$$

## 2.0.2 Autovalori e autovettori

### Teorema 1: Condizioni soluzione a sistema

Dato un sistema lineare nella forma  $Ax = 0$ , allora questo presenta soluzioni diverse da 0 se e solo se

$$\det(A) = 0$$

### Definizione 3: Autovettore e autovalore

Data una matrice  $A$  quadrata di dimensione  $n \times n$  allora  $x$  si dice un suo autovettore *relativo al valore*  $\lambda$  se vale che

$$Ax = \lambda x$$

In particolare, per trovare autovettori e autovalori posso risolvere la seguente:

$$\det(A - \lambda I) = 0$$

questo perchè:

$$\begin{aligned} Av &= \lambda v \\ Av - \lambda v &= 0 \\ (A - \lambda I)v &= 0 \end{aligned}$$

la quale ha soluzioni non nulle se e solo se  $\det(A - \lambda I) = 0$

### Teorema 2: Numero autovettori

Data una matrice quadrata di dimensione  $n \times n$ , allora questa ha al massimo  $n$  autovettori linearmente indipendenti.

### Teorema 3: Numero autovettori in matrice simmetrica

Data una matrice simmetrica quadrata di dimensione  $n \times n$ , allora questa ha esattamente  $n$  autovettori linearmente indipendenti.

## 2.0.2 Decomposizione di matrici

Data una matrice  $A \in \mathbb{R}^{m \times m}$  simmetrica

- Allora esiste  $U = [\mathbf{u}_1, \dots, \mathbf{u}_m] \in \mathbb{R}^{m \times m}$  and  $\boldsymbol{\lambda} = (\lambda_1, \dots, \lambda_m)^\top \in \mathbb{R}^m$  tale per cui:

$$A = U\Lambda U^\top$$

- $U \in \mathbb{R}^{n \times n}$  una matrice che ha per colonne gli *autovettori*
  - $\Lambda \in \mathbb{R}^{n \times n}$  una matrice che ha sulla diagonale *gli autovalori* ordinati
  - $U^\top U = UU^\top = I$

- O in alternativa

$$A = \sum_{j=1}^m \lambda_j \mathbf{u}_j \mathbf{u}_j^\top$$

- $u_j$  autovettore
  - $\lambda_j$  il corrispondente autovalore

- Nota che gli *autovalori* vengono presi in ordine  $\lambda_1 \geq \lambda_2 \geq \dots \geq \lambda_m$

### 2.0.3 Obiettivo

L'obiettivo del nostro problema è trovare un sistema di riferimento in cui il primo asse sia parallelo alla direzione con varianza massima, formalmente:

$$w_i = \operatorname{argmax} \{ w^\top C w : w^\top w = 1, w \perp w_j \quad \forall j : 1 \leq j \leq i-1 \}$$

si può dimostrare che la soluzione a questo problema di massimizzazione è dato dagli *autovettori* di  $C$ . In particolare, la  $i$ -esima componente principale è data dall' $i$ -esimo autovettore di  $C$ . Per trovare gli autovettori di  $C$  ho due metodi:

**Eigenvalue decomposition** : data  $A \in \mathbb{R}^{m \times m}$  simmetrica allora esiste

- $U = [u_1, \dots, u_m] \in \mathbb{R}^{m \times m}$
- $\lambda = [\lambda_1, \dots, \lambda_m]$

tale per cui

$$A = U \Lambda U^\top$$

dove

$$\Lambda = \begin{bmatrix} \lambda_1 & & \\ & \ddots & \\ & & \lambda_m \end{bmatrix}$$

**SVN (Singular Value Decomposition)** : data  $A \in \mathbb{R}^{m \times n}$ , allora esistono:

- $U = [u_1, \dots, u_m] \in \mathbb{R}^{m \times k}$
- $s = [s_1, \dots, s_n] \in \mathbb{R}^k$

tali per cui

$$A = U S V^\top$$

dove

$$\Lambda = \begin{bmatrix} s_1 & & \\ & \ddots & \\ & & s_m \end{bmatrix}$$

### 2.0.4 Equivalenza metodi:

Dato il fatto che  $C = \frac{1}{n} \bar{X} \bar{X}^\top$ , allora posso

- Chiamare  $U, \lambda = \operatorname{eig}(C)$
- Chiamare  $U, s, V = \operatorname{SVN}(\bar{X})$  e calcolare

$$\lambda = \left[ \frac{\lambda_1^2}{n}, \dots, \frac{\lambda_n^2}{n} \right]$$

L'equivalenza dei due metodi è data dal fatto che:

$$C = \frac{1}{n} \bar{X} \bar{X}^\top = \frac{1}{n} U S V (U S V)^\top = \frac{1}{n} (U S V) (V^\top S^\top U^\top) = \frac{1}{n} U S^2 U^\top$$

quindi

$$C = \frac{1}{n} U S^2 U^\top$$

## 2.0.5 Pseudocodice

### Algoritmo 2: PCA with eigenvalue decomposition

**Input:** Data points  $X = [x_1, \dots, x_n]$

**Output:** Principal components  $U = [u_1, \dots, u_m], \lambda = [\lambda_1, \dots, \lambda_m]$

pca\_eigen( $X$ ):

```

    ▷ Centring points
     $\bar{X} = X - \frac{1}{n}X\mathbf{1}_n\mathbf{1}_n^\top;$ 

    ▷ Compute covariance matrix
     $C = \frac{1}{n}\bar{X}\bar{X}^\top;$ 

    ▷ Eigenvalue decomposition
     $U, \lambda = \text{eig}(C);$ 

    return  $U, \lambda;$ 

```

dove  $\mathbf{1}_n$  è un vettore *colonna* di dimensione  $n$  con tutti gli elementi uguali a 1.

### Algoritmo 3: PCA with SVD

**Input:** Data points  $X = [x_1, \dots, x_n]$

**Output:** Principal components  $U = [u_1, \dots, u_k], \lambda = [\lambda_1, \dots, \lambda_n]$

pca\_svd( $X$ ):

```

    ▷ Centring points
     $\bar{X} = X - \frac{1}{n}X\mathbf{1}_n\mathbf{1}_n^\top;$ 

    ▷ SVN decomposition
     $U, s, V = \text{svd}(\bar{X});$ 

    ▷ Computing  $\lambda$ 
     $\lambda = \left(\frac{s_1^2}{n}, \dots, \frac{s_k^2}{n}\right);$ 

    return  $U, \lambda;$ 

```

dove  $\mathbf{1}_n$  è un vettore *colonna* di dimensione  $n$  con tutti gli elementi uguali a 1.

Nota che per ridurre le dimensioni dei valori di un qualsiasi campione è sufficiente trovare la sua proiezione sulle componenti principali. Ricordando che la proiezione di  $b$  su  $a$  è data da  $a \cdot b = a^\top b$ , possiamo generalizzare al nostro caso.

Dato  $\hat{W} = [w_1, \dots, w_k]$  contenente le componenti principali e  $\bar{X} [x_1, \dots, x_n]$  contenente i campioni da proiettare, allora

$$T = \hat{W}^\top \bar{X}$$

$T$  ha come colonne le proiezioni dei campioni sulle componenti principali

## 2.0.6 Trovare di quanto ridurre

Al fine di trovare un numero di dimensioni opportuno per cui si vuole effettuare la riduzione è possibile stimare la quantità di informazione persa con le seguenti formule:

$$\frac{\sum_{j=1}^k \lambda_j}{\sum_{j=1}^m C_{jj}}$$

Eigenvalue decomposition

$$\frac{\sum_{j=1}^k s_j^2}{\sum_{ij} \bar{X}_{ji}^2}$$

Singular value decomposition

queste due formule stimano la percentuale di informazione che viene ritenuta dopo aver ridotto la dimensione a  $k$ .

## 3 Clustering

### 3.1 k-means

- Dati dei punti  $X = [x_1, \dots, x_n] \in \mathbb{R}^{d \times n}$
- Impostato un numero di *cluster*  $k$
- Partiziona i punti in  $k$  cluster minimizzando la *variazione* totale

$$\min_{C_1, \dots, C_k} \sum_{j=1}^k V(C_j)$$

- La variazione all'interno di un cluster  $C_j$  è definita come

$$V(C_j) = \sum_{i \in C_j} \|x_i - \mu_j\|^2$$

- Il centroide è solitamente dato dal "centro di massa" fra i punti:

$$\mu_j = \frac{1}{|C_j|} \sum_{i \in C_j} x_i$$

#### 3.1.1 Pseudocodice

#### Algoritmo 4: *k-means*

```
k_clustering( $X$ ):  
    ▷ Initialization strategy to get initial cluster centroids  
     $\mu_1, \dots, \mu_k$   
    while clusters change do  
        for  $x_i \in X$  do  
            ▷ Assign  $x_i$  to the closest centroid, i.e.  
            ▷  $\mathcal{C}_j = \{i \in \{1, \dots, n\} : j = \arg \min_\ell \|x_i - \mu_\ell\|\}$   
            ▷ Compute new cluster centroids  $\mu_1, \dots, \mu_k$ ;  
    return  $\mathcal{C}_1, \dots, \mathcal{C}_k$ ;
```

#### 3.1.2 Note

- Algoritmo termina sempre, ma potrebbe finire in *minimo locale*, non globale. La *loss function* non è convessa
- Risultati variano molto in base a come si scelgono i cluster iniziali. I metodi più comuni sono:
  - Random points (not examples) in the space
  - Randomly pick examples
  - Points least similar to any existing center (furthest centers heuristic)
  - Try out multiple starting points
  - Initialize with the results of another clustering method
- Complessità ad ogni iterazione:
  - $O(kn)$  per assegnare ognuno degli  $n$  punti ad un cluster  $k$
  - $O(n)$  computazione centroidi
- Talvolta la distanza euclidea è poco adeguata, vedi sezione 5.1
- L'assunzione di base sulla distribuzione dei dati è che questi siano disposti in maniera "sferica" (generizzabile a più dimensioni)

#### 3.2 EM-clustering

L'EM assume che i dati provengano da una **miscela di distribuzioni gaussiane** (invece di cluster sferici come K-means). Ogni cluster è rappresentato da una gaussiana che può avere forma ellittica, permettendo di catturare cluster con forme più complesse.

- A differenza del K-means (assegnazione *hard*), qui un punto può appartenere a più cluster con probabilità diverse
- Ad esempio un punto può avere probabilità  $p(\text{rosso}) = 0.8$  e  $p(\text{blu}) = 0.2$

L'algoritmo alterna tra due passi principali:

- Per ogni punto  $x_i$ , calcola la *probabilità*  $p(\theta_c|x_i)$  che appartenga a ciascun cluster  $c$
- Ricalcola i parametri  $\theta_c$  di ogni cluster (centro  $\mu_c$  e matrice di covarianza  $\Sigma_c$ ) usando le probabilità calcolate nel passo precedente
- Ogni punto contribuisce al nuovo centro in modo *pesato* secondo la sua probabilità di appartenenza

L'algoritmo continua ad alternare i due passi fino a convergenza:

$$\text{E-step: } p(\theta_c|x_i) = \frac{p(x_i|\theta_c)p(\theta_c)}{\sum_{j=1}^K p(x_i|\theta_j)p(\theta_j)} \quad (1)$$

$$\text{M-step: } \theta_c^{(\text{new})} = \arg \max_{\theta_c} \sum_{i=1}^N p(\theta_c|x_i) \log p(x_i|\theta_c) \quad (2)$$

L'algoritmo garantisce che la likelihood dei dati aumenti ad ogni iterazione (anche se può convergere a un ottimo locale).

Nota:  $p(x_i | \theta_c)$  è la funzione gaussiana valutata in  $x_i$ . La generalizzazione della gaussiana in  $d$  dimensioni è:

$$\mathcal{N}[x; \mu, \Sigma] = \frac{1}{(2\pi)^{d/2} \sqrt{\det(\Sigma)}} \exp \left[ -\frac{1}{2}(x - \mu)^T \Sigma^{-1} (x - \mu) \right]$$

dove  $\Sigma$  è la *matrice di covarianza* che descrive la forma dell'ellisse del cluster e  $\mu$  è la *media*

### 3.3 Spectral clustering

Lo spectral clustering può aiutare nel momento in cui i dati non sono distribuiti in maniera gaussiana o circolare. L'algoritmo funziona così:

- Costruzione grafo secondo qualche criterio
- Partizione del grafo minimizzando il peso del taglio, ossia

$$\text{cut}(A, B) = \sum_{x \in A, y \in B} w(x, y)$$

più nello specifico, si cerca di minimizzare il taglio normalizzato:

$$\text{Ncut}(A, B) = \frac{\text{cut}(A, B)}{\text{vol}(A)} + \frac{\text{cut}(A, B)}{\text{vol}(B)}$$

nota che il taglio va *normalizzato* per evitare che il taglio sia influenzato dalla dimensione dei cluster, evitando tagli in cui ho 99 nodi da una parte e 1 dall'altra

Il problema può essere generalizzato ad un problema di autovalori

## 3.4 Clustering gerarchico

L'idea del clustering gerarchico è di procedere in maniera *agglomerativa* e *bottom-up*, aggregando gruppi simili

- Ogni elemento  $\xi$  è inizialmente un cluster
- Unisco gruppi secondo qualche criterio
- Termino quando rimane un singolo cluster

La struttura gerarchica ottenuta è detta *dendogramma*

Ciò che caratterizza un algoritmo è proprio come si definisce la distanza fra clusters. Ci sono molte opzioni quali: closest pair, farthest pair, average among all distances, etc

### 3.4.1 Pseudocodice

Formalmente, per risolvere il problema descritto in eq. (2), è necessario procedere come segue:

$$\begin{aligned}N_c &= \sum_{i=0}^k p(x | \theta_c) \\ \Sigma_c &= \frac{1}{N_c} + \sum_{i=1}^n p(\theta_c | x_i) \cdot \bar{x}_i \bar{x}_i^\top \\ \pi_c &= p(\theta_c) = \frac{N_c}{n}\end{aligned}$$

### Algoritmo 5: EM-clustering

**Input:** Data points  $X = [x_1, \dots, x_n] \in \mathbb{R}^{d \times n}$ , number of clusters  $K$   
**Output:**  $K$  clusters with parameters  $\theta_c = (\mu_c, \Sigma_c, \pi_c)$

```

em_clustering( $X, K$ ):
     $\triangleright$  Inizializzo  $\pi$ 
    for  $c \in K$  do
         $\pi_i = \frac{1}{k}$ 

    while clusters change do
         $\triangleright$  E-step: calcolo le probabilità di appartenenza
        for  $c \in K$  do
             $\gamma_{iC} = p(\theta_c, \xi) = \frac{p(x_i|\theta_c)p(\theta_c)}{\sum_{j=1}^K p(x_i|\theta_j)p(\theta_j)}$ 

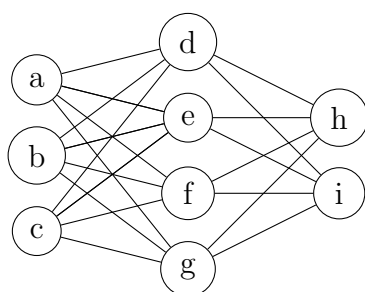
         $\triangleright$  M-step: aggiorno gaussian parameters
        for  $c \in K$  do
             $N_c = \sum_{i=0}^k p(x | \theta_c);$ 
             $\Sigma_c = \frac{1}{N_c} + \sum_{i=1}^n p(\theta_c | x_i) \cdot \bar{x}_i \bar{x}_i^\top;$ 
             $\pi_c = p(\theta_c) = \frac{N_c}{n};$ 
    
```

#### 3.4.2 Vantaggi rispetto a k-means

1. *Cluster ellittici*: Può gestire cluster con forme allungate, non solo circolari
2. *Clustering soft*: Fornisce probabilità di appartenenza invece di assegnazioni rigide
3. *Maggiore flessibilità*: La matrice di covarianza permette di catturare correlazioni tra le features

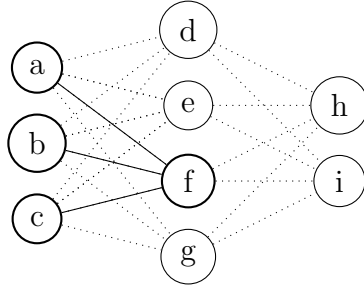
## 4

### Reti neurali



## 4.1 Calcolo output predetto

Data una rete neurale con  $L$  layers, l'idea è che ogni nodo ha un'attivazione, ogni edge un peso. Per calcolare l'attivazione di un nodo  $t$  devo fare una "somma pesata" di tutti i nodi ai quali è collegato  $t$ .



in questo caso:

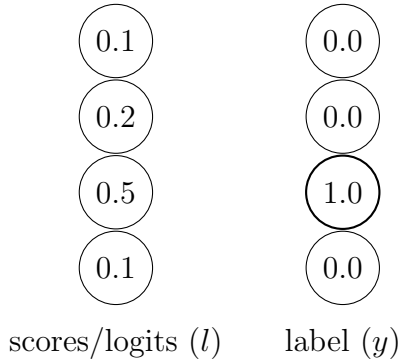
$$\text{Attivazione di } f = h(z_f = z_a + w_{af} + z_b + w_{bf} + z_c + w_{cf} + b_f)$$

dove  $b_f$  è il bias di  $f$  e  $h$  è la funzione di attivazione. In termini generali:

$$z_t = \sum_{i \in \mathcal{N}(t)} w_{it} z_i + b_t$$

### 4.1.1 Classificazione: softmax + cross-entropy

Una volta calcolate le attivazioni dell'ultimo layer per confrontarle con il risultato atteso ( $y$ ) posso procedere come segue. Supponendo di avere



Softmax : la funzione *softmax* è definita come:

$$\text{softmax}(l) = S(l) = \frac{\exp(l_i)}{\sum_{j=1}^k \exp(l_j)}$$

intuitivamente:

- Applica esponenziale a ogni score  $z_i$  per enfatizzare gli outliers
- Normalizza il vettore  $l$  rendendolo una distribuzione di probabilità

questo equivale a creare il vettore:

$$S(l) = \left[ \frac{e^{l_1}}{\sum_j e^{l_j}}, \dots, \frac{e^{l_m}}{\sum_j e^{l_j}} \right]$$

**Cross-entropy loss** : la *cross-entropy* è definita come:

$$\text{cross-entropy}(l, y) = \mathcal{L}(l, y) = \sum_k y_k \log(S(l_k))$$

In termini vettoriali, dato  $l$  il vettore degli score e  $y$  ossia la label che indica il risultato atteso, allora la *cross-entropy* è definita come:

$$\mathcal{L}(l, y) = S(l)^\top y$$

Esempio : nel nostro caso:

$$S(l) = S([0.1, 0.2, 0.5, 0.1]) = \frac{1}{\sum_j e^{l_j}} [e^{0.1}, e^{0.2}, e^{0.5}, e^{0.1}]$$

calcolo la sommatoria:

$$\sum_i e^{l_i} = e^{0.1} + e^{0.2} + e^{0.5} + e^{0.1} \approx 3.2$$

dunque

$$S(l) = \frac{1}{3.2} [1.1, 1.2, 1.6, 1.1] \approx [0.34, 0.38, 0.5, 0.34]$$

#### 4.1.2 Regressione: softmax + cross-entropy

Se il vettore  $l$  degli scores deve dare origine ad una regressione di  $n$  valori allora posso calcolare la distanza dal valore atteso  $\hat{y}$  con la loss quadratica:

$$\mathcal{L}(l, \hat{y}) = \frac{1}{2} \sum_{i=1}^n (l_i - \hat{y}_i)^2$$

nota che questa loss function è relativa *al singolo input  $x_i$*

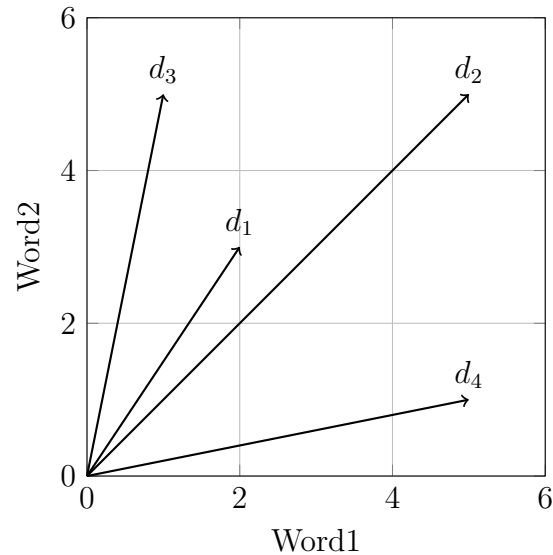
## 5

## Miscellanea nozioni

### 5.1

### Cosine distance

In alcuni casi la distanza euclidea non è adeguata per valutare quanto due vettori sono simili. Ad esempio, se classificassimo documenti sulla base delle parole contenute e avessimo:



in questo caso  $d_1$  e  $d_2$  sono molto distanti mentre dal punto di vista logico risultano molto simili. Per questo è più efficiente la *cosine similarity*

$$\text{sim}(x, y) = \frac{x}{\|x\|} \cdot \frac{y}{\|y\|}$$

nota come  $\text{sim}(x, y) \in [0, 1]$ . Similmente:

$$d(x, y) = 1 - \text{sim}(x, y)$$